

光线追踪术语

Eric Haines and Peter Shirley

翻译：RainVector

审阅：YanFeiGao

2019 年 12 月 1 日

目录

1 光线追踪基础	1
2 摘要	2
2.1 历史记录	2
2.2 定义	3

1 光线追踪基础

今天，光栅化主导了实时渲染的大多数应用领域，因此许多寻找实时渲染技巧的读者上次遇到光线追踪可能还是在学生时代（可能几十年前）。这个部分包含了各种介绍性的章节来帮助大家复习基础知识，建立一个通用的词汇表，提供简单却很有用的基础模块。

章节1，“光线追踪术语”这一章节定义了整书中都要用到的一些通用的术语并且给出了引入这些术语的一些开创性研究论文。对于新手读者来说，当你深入研究文献时，会出现令人困惑、不断变化、各种重叠且命名不佳的术语。在不理解这些术语如何演化到今天使用的这样子的情况下，直接去读30年前的论文会是一个令人沮丧的过程。这个章节提供了一个基础的路线图。

章节2，“什么是光线？”，这一章节覆盖了一些常见的光线的数学定义：如何思考光线，哪些公式通常会用于现代API中。虽然这是一个简单的章节，但是分离出这个基本结构的基础部分会有助于提醒读者数值精度问题比比皆是。对于光栅化，精度问题出现在 z-fighting 和阴影映射（Shadow Mapping）中；在光线追踪中，每一次光线查询都需要小心处理以避免虚假交叉（精度问题在章节6中有更广泛的介绍）。

最近，微软公司引入了DirectX光线追踪技术，它是DirectX 光栅化API的扩展。章节3，“介绍DirectX光线追踪”，简单介绍了此编程接口引入的抽象，心智模型和新的着色器阶段。除此之外，还介绍并解释了初始化API所需的步骤，并提供了示例代码的指示以帮助您入门。

光线追踪器允许我们很容易的构建任意相机模型，而不像传统的光栅化API那样定义一个 4×4 的投影矩阵来限制相机。章节4，“天文馆圆顶主摄像头”给出了构建一个180度半球形圆顶投影（比如天文馆）光线追踪相机的数学形式和示例代码。这个章节同样展示了用光线追踪时添加立体渲染或者景深是多么简单。

章节5，“计算子数组的极大值和极小值”描述了基本算法构建块的三种计算方法（具有各种计算权衡）。基本算法的基础模块就是计算一个数组任意子数组的最大值和最小值。表面上看，评估这样的查询和光线追踪没有明显的关系，但是它可以应用到如科学可视化这样的领域，在这个领域会经常用到光线追踪。

这个部分的知识应该会帮助你开始理解现代光线追踪的基础和使用它进行有效渲染需要的思维模式。

Chris Wyman

2 摘要

本章节介绍了整本书里的背景知识和术语的定义。

2.1 历史记录

光线追踪常称为辐射传输，在环境中追踪光的运动这一学科中具有悠久的历史。图形学从业者从中子迁移[1]，热传导[2] 和照明工程学[3]等领域引入了一些概念。因为有特别多领域在研究这些概念，所以在学科之间或者学科内部术语不断发展，甚至会出现分歧。经典的论文里可能会错误的使用术语，这会很令人困惑。

光沿射线传播的基本度量就是SI（单位光谱辐射率），其在真空中沿射线传播保持不变，通常直观的表现就像可感知的概念：亮度。在标准化之前，光谱辐射经常被称为“强度”或者“亮度”。在计算机图形学里面，一般不用“光谱”这个词，因为我们从不使用非光谱辐射（所有波长上的体积量）。

图形学领域中涉及光线的术语在一直进化。几乎所有的现代光线追踪器都使用递归和蒙特卡洛法。现在很少有人会费心的把自己的渲染器称为“递归蒙特卡洛”光线追踪器。在1968年，苹果公司[4]使用光线来渲染图片。1979年，Whitted [5] 和 Kay, Greenberg [6]开发了一种递归光线追踪方法来表示精确的折射和反射。1982年，Roth [7] 使用沿着光线的内外间隔列表（也称局部实例化）来创建CSG模型的渲染和体积估计。

1984年, Cook等人[8] 提出了分布的或分布式光线追踪。在其他地方, 为了避免和分布式处理混淆, 我们称它为随机光线追踪。几乎每一个现代光线追踪器都会使用随机采样方法关键的洞察力来捕捉诸如景深, 模糊反射和阴影等效果。在1984年之后的几年里, 研究人员使用传统的辐射传输方法重新描述了渲染。在1986年, 人们提出了两个重要的算法。Kajiya [9] 将积分传输方程称为渲染方程。他尝试了多种解决方案, 其中包括他称为路径追踪的蒙特卡洛方法。Immel, Cohen和 Greenberg[10] 提出了相同的传输方程, 只是使用了不同的单位, 并使用有限单元法来求解这个方程, 现在称为热力辐射。

自从三十多年前使用传统的辐射传输方法来重新描述这个图形学问题, 在探索如何数值的求解这个问题上大家做了大量的工作。一些关键的算法也发生了改变, 比如双向法[11, 12] 和 1990年代引入的基于路径的方法[13]。许多细节, 比如如何在实践中实现这些技术, 在 Pharr, Jakob 和 Humphreys的书[14]中有讨论。

2.2 定义

我们在此强调一些本书中的重要术语。除了标准单位, 没有标准的术语列表, 但我们的定义也反映了本领域目前对术语的使用。

光线追踪就是沿着光线找到光线通过的最近的那个物体或者所有的物体的过程。光线的定义请查看章节2。一束光线穿过一个像素从摄像机离开直到碰到最近的物体。作为渲染的一部分, 可以在这个碰撞点向光源投射一个新的光线来决定这个物体是否在阴影里。见图1。

光线追踪利用光线投射机制来递归的采集反射和折射物体对光的贡献。比如, 当碰到一个镜子, 从镜子上的碰撞点投射一束光到反射方向。不管这个反射光线和什么相交都会影响镜子最终的渲染。同样的, 透明的或者玻璃物体可能会同时产生反射和折射光。这个过程会递归的发生。递归通常都会有截止限制, 比如光线最大反弹次数。整个光线树会被反向的沿着光路评估, 最后计算出颜色。和之前一样, 我们会查询每个碰撞点, 然后向每个光源发射光线来决定是否在阴影里。见图2。

在Whitted的方法(传统的光线追踪方法)中, 他们假设物体表面绝对闪亮光滑, 光源是方向光源或者在无穷远处。在Cook的方法(随机光线追踪法)中, 光线树中每个节点可以发射更多的光线以产生各种效果。比如想象一个球形光源而不是一个点光源, 可以照亮局部的物体表面, 所以我们发射很多光线到球上不同的位置来估计有多少光照到达。当我们对可见的面光源进行积分, 完全在阴影里的点落在全影区域, 局部光照点落在半影区域。见图3。

通过向反射方向上的锥形区域射出很多光线并对结果进行混合, 我们可以得到有光泽的反射而不是镜面反射。见图4。这种分散采样的方法同样可以用来对半透明, 景深, 运动模糊等效果建模。

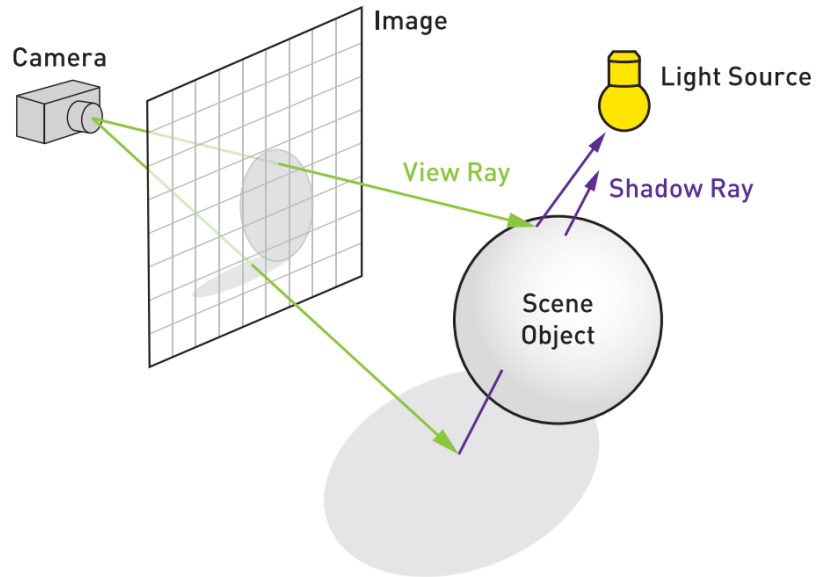


图 1: 光线投射。一束光线从摄像机的位置出发穿过像素网格进入场景中。在每个位置，朝光源投射另一束光线来决定表面被照亮还是在阴影里。（图片来源 Henrik，“光线追踪（图形学）”，维基百科）

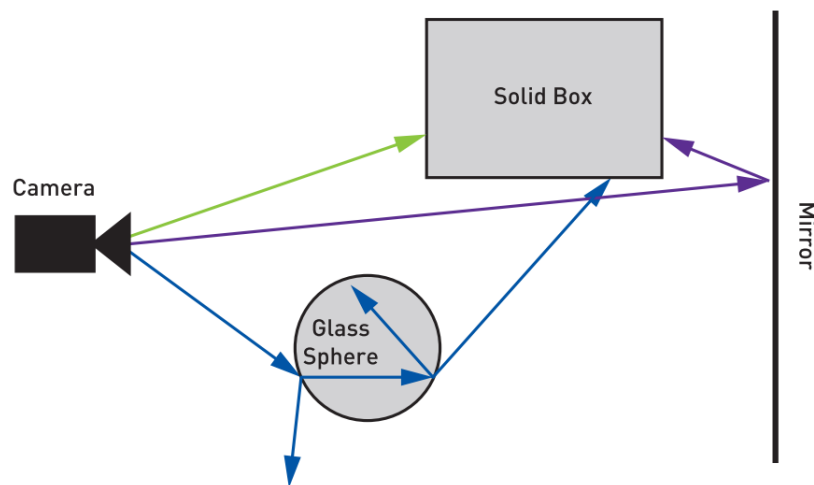


图 2: 光线追踪。三束光线从摄像机射入场景。最上方绿色的光线直接击中盒子。中间紫色的光线先击中镜子，经反射击中盒子的背部。最下方蓝色光线击中玻璃球，产生反射和折射光线。折射光线接着产生两个子光线，其中一束穿过玻璃球的光线又产生两束光线。

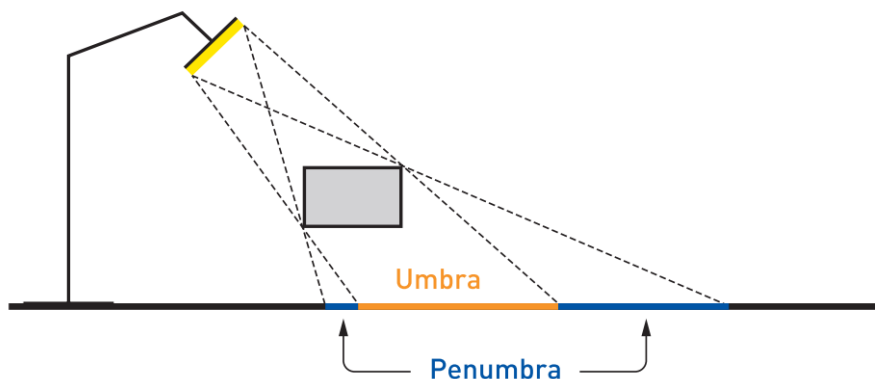


图 3: 面光源投射出柔和半影区域，全影区域完全在阴影当中。

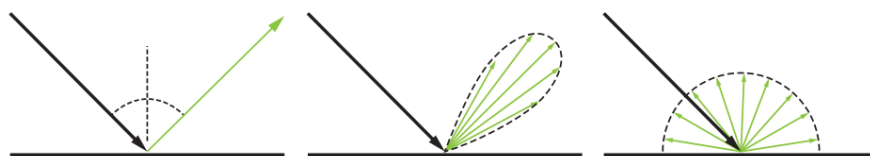


图 4: 镜面反射，光泽反射，漫反射。左侧：入射光线被反射后朝一个方向离开镜面。中间：表面被打磨过，比如黄铜，在反射方向附近反射光线并使的表面有光泽。右边：材料是漫反射或哑光的，比如石膏，入射光线朝所有的方向反射。

在真实世界当中有很多光源发射光线，他们到达人的眼睛的方法多种多样，包括折射和反射。光泽表面反射光线到很多方向上，不仅仅是在反射方向上。漫反射或者哑光表面可以将光线分散到更广泛的范围。在光线追踪领域，我们颠倒一下光的散射行为，我们使用出射方向和材料来帮助我们决定各个入射方向上光线对物体表面渲染的重要性。

跟踪如此复杂的光线传输很快就变得令人不能承受，也很容易造成低效的渲染。为了产生一张图像，我们只需要光线从特定的一些方向穿过摄像机的镜头。递归光线追踪法在很多方面颠倒了光线传播的物理过程，以我们知道会影响图像的方向从人眼处生成产生光线。

在Kajiya风格或路径跟踪中，光线反射到场景中的哑光表面上，它允许现实世界中的所有光路（衍射之外的相位效果除外）。这里的光路指的是一系列光 - 物体相互作用，它们从相机开始并以光线结束。

我们需要在每个表面交叉点的位置估算它周围所有光线的贡献，并且要结合表面的反射属性。例如，一堵红色的墙旁边有白色的屋顶，墙会发射红色的光到屋顶，反之亦然。接着墙和屋顶会产生相互反射，因为他们会互相反射反射光线，这也会影响到彼此。通过从眼睛的视角递归的结合这些效果，当碰到光源的时候结束，一个真正的基于物理的图像就可能生成了。

这里我们使用了“可能”，如果我们在一个粗糙的表面射出一组光，比方说一千束。然后对于每一束光，我们递归的发射出另外上千条，那我们仅仅是计算一个像素点就可以到天荒地老了。相反，当一束光线从人眼发射出去并碰到一个可见的表面上，在碰撞点光线追踪器在有用的方向上只产生一束光。这束光依次产生一束光并持续下去，这些光线并最终形成一个路径。对于一个像素，将多个追踪的路径进行混合就可以估计出像素真正的辐射。当有计算更多的路径时，最后的效果也会提升。通过适当的处理，路径追踪可以给出无偏的结果，这个结果符合物理事实。

大多数现代光线追踪器每个像素使用不止一束光线作为蒙特卡洛（MC）算法的底层部分。Cook风格和Kajiya风格的算法就是例子。这些方法都有对各种概率密度函数(PDFs)的理解。比如，在Cook风格算法中，我们可能会在一个透镜区域包含一个PDF。在基于路径的方法中，PDF将会在我们称为路径空间的路径上出现。

为了减少误差，令蒙特卡洛算法的PDF采样不均匀称为重要性采样。使用数论方法中的样本低差异模式而不是传统的伪随机数生成器来创建随机样本被称为准蒙特卡罗（QMC）采样。在很大程度上，计算机图形学从业者使用业内标准术语于MC和QMC。然而，这种做法会造成同义词混淆。比如，计算机图形学中的“阴影光线直接照明”是MC/QMC中“下一个事件估计”的一个例子。

从形式化的角度，渲染器就是求解一个针对图形学特定问题的传播方程，也经常称作渲染方程。这个方程经常写做表面上一点出的能量平衡方程。在一些文献中符号会有变化，但是都和下面的公式很相似：

$$L_o(P, \omega_o) = \int_{s^2} f(P, \omega_o, \omega_i) L_i(P, \omega_i) |\cos \theta_i| d\omega_i \quad (1)$$

这里， L_o 是在 ω_o 方向离开表面点 P 的辐射，表面属性 f 是双向反射分布函数(BRDF)。这个函数也经常标记为 f_r 或者 ρ 。 L_i 是 ω_i 方向上的入射光线，表面法线和入射光线的夹角是 θ_i ， $|\cos \theta_i|$ 表示这个角度的几何衰减。通过积分所有表面和物体光的效果，不仅仅是光源，和所有入射方向，折叠表面BRDF效果，我们得出辐射，实质上就是光线的颜色。因为 L_i 通常是递归计算的，比如从点 P 所有可见的表面都要依次计算得到辐射值，路径追踪和相关方法可以在他们当中选择所有可能的路径，选择的目标是沿着路径方向投射每条光线，这个方向对于计算所有可能方向效果的良好近似很重要。

通常点 P 会被隐式的略去。而且，波长 λ 可以作为函数的输入。也有包含参与媒介的更泛化的方程，比如烟或雾，物理光学效应比如衍射。

关于参与媒介，*ray marching*是在一个区间里沿着光线前进并在光线方向采样的过程。这种投射光线的方法经常用来做体积渲染，在这种场景里没有特定的表面。除此之外，可以通过一些方法来计算光线在体积的每个位置的效果。*ray marching*还可以用来仿真体积内的碰撞。

通常在 Hart 球面追踪算法[15]的一些变体下, ray marching 通常被用来求解和隐式距离方程定义的曲面的交叉或者沿光线到表面的方向采样和搜索来进行体内/体外测试。这里的“球面”是距离物体表面等距离的点形成的球。它和交叉球无关。按照之前的表示方法,这个过程应该成为“球体投射”而不是“球体追踪”。这种类型的求交检测经常在示例场景出现,并因为Shadertoy网站变得流行。

我们只接触到光线相关渲染技术的基础部分和使用的术语。有关更多资源的指南,请参阅本书的网站: <http://raytracinggems.com>。

参考文献

- [1] James Arvo and David Kirk. Particle transport and image synthesis. *SIGGRAPH Comput. Graph.*, 24(4):63–66, September 1990.
- [2] R. Siegel and J.R. Howell. *Thermal radiation heat transfer*. Series in thermal and fluids engineering. Hemisphere Pub. Corp., 1981.
- [3] Greg Ward Larson and Rob Shakespeare. *Rendering with Radiance: The Art and Science of Lighting Visualization*. Morgan Kaufmann Publishers Inc., San Francisco, CA, USA, 1998.
- [4] Arthur Appel. Some techniques for shading machine renderings of solids. In *Proceedings of the April 30–May 2, 1968, Spring Joint Computer Conference*, AFIPS '68 (Spring), pages 37–45, New York, NY, USA, 1968. ACM.
- [5] Turner Whitted. An improved illumination model for shaded display. *Commun. ACM*, 23(6):343–349, June 1980.
- [6] Douglas Scott Kay and Donald Greenberg. Transparency for computer synthesized images. In *Proceedings of the 6th Annual Conference on Computer Graphics and Interactive Techniques*, SIGGRAPH '79, pages 158–164, New York, NY, USA, 1979. ACM.
- [7] Scott D Roth. Ray casting for modeling solids. *Computer Graphics and Image Processing*, 18(2):109 – 144, 1982.
- [8] Robert L. Cook, Thomas Porter, and Loren Carpenter. Distributed ray tracing. *SIGGRAPH Comput. Graph.*, 18(3):137–145, January 1984.

- [9] James T. Kajiya. The rendering equation. In *Proceedings of the 13th Annual Conference on Computer Graphics and Interactive Techniques*, SIGGRAPH '86, pages 143–150, New York, NY, USA, 1986. ACM.
- [10] David S. Immel, Michael F. Cohen, and Donald P. Greenberg. A radiosity method for non-diffuse environments. In *Proceedings of the 13th Annual Conference on Computer Graphics and Interactive Techniques*, SIGGRAPH '86, pages 133–142, New York, NY, USA, 1986. ACM.
- [11] Eric P. Lafortune and Yves D. Willems. Bi-directional path tracing. In *Proceedings of Third International Conference on Computational Graphics and Visualization Techniques (Compugraphics '93)*, pages 145–153, Alvor, Portugal, December 1993.
- [12] Eric Veach and Leonidas Guibas. Bidirectional estimators for light transport. In Georgios Sakas, Stefan Müller, and Peter Shirley, editors, *Photorealistic Rendering Techniques*, pages 145–167, Berlin, Heidelberg, 1995. Springer Berlin Heidelberg.
- [13] Eric Veach and Leonidas J. Guibas. Metropolis light transport. In *Proceedings of the 24th Annual Conference on Computer Graphics and Interactive Techniques*, SIGGRAPH '97, pages 65–76, New York, NY, USA, 1997. ACM Press/Addison-Wesley Publishing Co.
- [14] Matt Pharr, Wenzel Jakob, and Greg Humphreys. *Physically based rendering: From theory to implementation*. Morgan Kaufmann, 2016.
- [15] John C. Hart. Sphere tracing: a geometric method for the antialiased ray tracing of implicit surfaces. *The Visual Computer*, 12(10):527–545, Dec 1996.